

## 估計單指標模型中單一解釋變數的主效應

鄭明燕<sup>1</sup> 沈愈騰<sup>2</sup>

<sup>1</sup>Department of Statistical Science, University College London

<sup>2</sup>台灣大學數學系

### 摘 要

Efromovich (2005) 提出利用輔助變數估計一元無母數迴歸的方法，並發展出在輔助變數存在時無母數迴歸的漸進最佳預測 (asymptotically optimal nonparametric univariate regression estimation in the presence of auxiliary covariate) 的定理。Efromovich (2005) 先估計  $h(X, Z) = E(Y|X, Z) - E(Y|X)$ ，然後用  $Z$  扣掉它，產生降噪散點圖 (denoised scattergram)，以此來估計  $E(Y|X = x)$ ，這裡  $Z$  是一個輔助變數。本篇論文討論在單指標模型中，如何估計單一解釋變數的主效應，我們以 Efromovich (2005) 文章中的方法為基礎，對  $h(x, z)$  重新估計，產生降噪散點圖 (denoised scattergram) 來估計  $f(x) = E(Y|X = x)$ ，並證明此估計也是一個漸進尖銳極小化最大值估計 (asymptotic sharp minimax estimate)。

關鍵詞: 漸進尖銳極小化最大值估計, 輔助變數, 降噪散點圖, 無母數迴歸, 單指標模型。

JEL classification: C13, C14.

### 1. 導論

考慮一元無母數迴歸模型,

$$Y_l = f(X_l) + \eta_l, \quad (1)$$

這裡  $f(X_l) = E(Y|X_l)$ ,  $\{(Y_l, X_l), l = 1, 2, \dots, n\}$  為來自母體  $(Y, X)$  的  $n$  個隨機樣本,  $\eta_1, \dots, \eta_n$  是迴歸誤差, 另外  $X$  取值於  $[0, 1]$ 。Efromovich (2005) 討論迴歸誤差太大的狀況時, 用  $\{(Y_l, X_l), l = 1, 2, \dots, n\}$  的資訊估計  $f(x)$  會十分困難, 例如當一個實驗有許多解釋變數的時候。Efromovich (2005) 於是引入輔助變數, 藉由和  $X$  獨立的輔助變數  $Z$  去消除太大的迴歸誤差來估計  $f(x)$ 。方式如下, 首先令  $\{Z_l, l = 1, \dots, n\}$  是已知的輔助變數,  $Z$  取值於  $[0, 1]^d$ , 且  $X$  和  $Z$  是互相獨立的。則 (1) 式可重寫為

$$Y_l = f(X_l) + h(X_l, Z_l) + \varepsilon_l, \tag{2}$$

這裡  $h(X_l, Z_l) = E(Y_l|X_l, Z_l) - f(X_l)$ ,  $\varepsilon_l = \eta_l - h(X_l, Z_l)$ , 另外我們定義  $g(X_l, Z_l) = E(Y_l|X_l, Z_l)$ 。Efromovich (2005) 先考慮  $h(x, z)$  為已知時, (2) 式則可寫為

$$Y_l^* = f(X_l) + \varepsilon_l, \tag{3}$$

這裡  $Y_l^* = Y_l - h(X_l, Z_l)$ 。從 (3) 式來看, 我們便可以使用 Efromovich and Pinsker (1996) 的方法, 用  $\hat{\theta}_r^*$  估計  $f(x)$  的傅立葉係數  $\theta_r = \int f(x)\varphi_r(x)dx$  (註:  $\varphi_0(x) = 1, \varphi_r(x) = \sqrt{2} \cos(r\pi x)$ )。

$$\hat{\theta}_r^* = \sum_{l=1}^n Y_{(l)}^* A_{rl}, \tag{4}$$

這裡  $A_{rl} = s^{-1} \int_{B_l} \varphi_r(x)dx$ ,  $s = 2 \lceil \ln(\ln(n+20)) + 1 \rceil$ ,  $B_l = [X_{(\max(0, l - (\frac{1}{2}s)))}, X_{(\min(l + (\frac{1}{2}s), n+1))}]$ ,  $X_{(l)}$  是  $X_1, \dots, X_n$  的排序, 且相同的符號被使用在其對應的變數, 而且  $X_{(0)} = 0, X_{(n+1)} = 1, Y_{(l)}^* = Y_{(l)} - h(X_{(l)}, Z_{(l)})$ 。然後我們可以以  $\hat{\theta}_r^*$  為基礎, 找到一個  $f(x)$  的估計式,

$$\hat{f}(\{\hat{\theta}_j^*\}, x) = \sum_{j=0}^{\infty} \mu_j \hat{\theta}_j^* \varphi_j(x),$$

這裡  $\mu_j$  是特定的 shrinkage coefficients,  $\mu_j = \mu_j(n, \mathcal{F})$ ,  $0 \leq \mu_j \leq 1, n^{-1} \sum_{j=0}^{\infty} \mu_j^2 = O(1)n^{-1} \sum_{j=0}^{\infty} \mu_j = O(1) \times n^{-2\alpha/(2\alpha+1)}$ , 且它是一個漸進尖銳極小化最大值估計 (asymptotic sharp minimax estimate), 也就是說,

$$\begin{aligned} & \sup_{f \in \mathcal{F}(\alpha, Q)} E \int_0^1 (\hat{f}(\{\hat{\theta}_j^*\}, x) - f(x))^2 dx \\ &= (1 + o(1)) \inf_{\check{f}^*(x)} \sup_{f \in \mathcal{F}(\alpha, Q)} E \int_0^1 (\check{f}^*(x) - f(x))^2 dx \\ &= T(\alpha) Q^{\frac{1}{2\alpha+1}} \left[ n^{-1} \int_0^1 \sigma^2(x) P_1^{-1}(x) dx \right]^{2\alpha/(2\alpha+1)} (1 + o(1)), \end{aligned}$$

這裡  $T(\alpha) = [2\alpha/(2\pi(\alpha + 1))]^{2\alpha/2\alpha+1} (2\alpha + 1)^{1/(2\alpha+1)}$ ,  $\sigma^2(x) = \text{Var}(\varepsilon|X = x)$ ,  $P_1(x)$  是  $X$  的機率密度函數,  $\check{f}^*(x)$  是知道  $h(x, z)$  之下預測  $f(x)$  的所有方法, 其中  $\mathcal{F}(\alpha, Q)$  為一個 Sobolev class,

$$\mathcal{F}(\alpha, Q) = \left\{ f : f(x) \text{ 為 } \alpha \text{ 次可微}, f(x) = \sum_{j=0}^{\infty} \theta_j \varphi_j(x), \theta_0^2 + \sum_{j=1}^{\infty} (\pi j)^{2\alpha} \theta_j^2 \leq Q < \infty \right\}, \alpha \geq 1.$$

從  $h(x, z)$  已知為出發點, 再回到未知的狀況, Efromovich (2005) 想辦法找到一個  $h(x, z)$  的估計式  $\tilde{h}(x, z)$  然後定義  $\tilde{Y}_{(l)}$  為

$$\tilde{Y}_{(l)} = Y_{(l)} - \tilde{h}(X_{(l)}, Z_{(l)}),$$

再用  $\tilde{Y}_{(l)}$  取代  $Y_{(l)}^*$  代入 (4) 式, 因而求得

$$\hat{\theta}_r = \sum_{l=1}^n \tilde{Y}_{(l)} A_{rl}.$$

最後用  $\hat{\theta}_r$  估計  $\theta_r$ , 並證明以  $\hat{\theta}_r$  為基礎的估計式:

$$\hat{f}(\{\hat{\theta}_j\}, x) = \sum_{j=0}^{\infty} \mu_j \hat{\theta}_j \varphi_j(x),$$

也是一個漸進尖銳極小化最大值估計。

我們以 Efromovich (2005) 的方法為基礎, 討論在單指標模型中, 如何估計  $f(x) = E(Y|X = x)$ , 並證明此估計量也是一個漸進尖銳極小化最大值估計。

第二節我們先考慮:  $d = 1$ ,  $E(Y|X = x, Z = z) = g(x, z) = g_1(x + z)$  的狀況 ( $g_1$  是定義在  $[0, 2]$  的實函數且  $g_1 \in L^2[0, 2]$ ), 找出  $h(x, z)$  的一個展式, 想辦法找到合理的  $\tilde{h}(x, z)$  去估計  $h(x, z)$ , 然後說明:

$$\hat{f}(\{\hat{\theta}_j\}, x) = \sum_{j=0}^{\infty} \mu_j \hat{\theta}_j \varphi_j(x)$$

也是一個漸進尖銳極小化最大值估計, 換句話說,

$$\begin{aligned} & \sup_{f \in \mathcal{F}(\alpha, Q)} E \int_0^1 (\hat{f}(\{\hat{\theta}_j\}, x) - f(x))^2 dx \\ &= (1 + o(1)) \inf_{\check{f}^*(x)} \sup_{f \in \mathcal{F}(\alpha, Q)} E \int_0^1 (\check{f}^*(x) - f(x))^2 dx. \end{aligned}$$

第三節討論  $d > 1$ ,  $E(Y|X = x, Z = z) = g(x, z) = g_1(x + \beta' z)$ , ( $\beta$  已知) 的狀況,  $d > 1$  可歸約為  $d = 1$  的狀況討論, 然後也用類似的方法找到一個漸進尖銳極小化最大值估計。

## 2. 單元輔助變數情況下的討論

定義:

$$\begin{aligned}\varphi_0(x) &= 1, \quad \varphi_k(x) = \sqrt{2} \cos(k\pi x), \\ \psi_0(x) &= \frac{1}{\sqrt{2}}, \quad \psi_k(x) = \cos\left(\frac{k\pi x}{2}\right),\end{aligned}$$

則  $\{\varphi_k(x)|k = 0, 1, \dots\}$  為  $L^2[0, 1]$  的一組正規基底,  $\{\psi_k(x)|k = 0, 1, \dots\}$  為  $L^2[0, 2]$  的一組正規基底。

定理 1. 設

$$a_i = \int_0^2 g_1(t)\psi_i(t)dt, \quad C_{i,j} = \begin{cases} \int_0^1 \frac{1}{\sqrt{2}}\varphi_j(x)dx, & i = 0, \\ \int_0^1 \cos\frac{i\pi x}{2}\varphi_j(x)dx, & i \neq 0, \end{cases} \quad D_{i,j} = \int_0^1 \sin\frac{i\pi x}{2}\varphi_j(x)dx,$$

且  $f(x) =: E[Y|X = x] \in L^2[0, 1]$ , 則

$$\begin{aligned}h(x, z) &= \sum_{j=0}^{\infty} \sum_{i=0}^{\infty} a_i C_{i,j} \left[ \cos\frac{i\pi z}{2} - E\left[\cos\frac{i\pi Z}{2}\right] \right] \varphi_j(x) \\ &\quad - \sum_{j=0}^{\infty} \sum_{i=0}^{\infty} a_i D_{i,j} \left[ \sin\frac{i\pi z}{2} - E\left[\sin\frac{i\pi Z}{2}\right] \right] \varphi_j(x).\end{aligned}$$

設  $T = X + Z$ ,  $T_l = X_l + Z_l$ 。因為,

$$E(Y|X = x, Z = z) = g_1(x + z),$$

所以,

$$E(Y|T = t) = g_1(t) = \sum_{i=0}^{\infty} a_i \psi_i(t).$$

如果我們知道  $T$  的機率密度函數  $p$ , 我們可以用  $\hat{a}_i$  來估計  $a_i$ ,

$$\hat{a}_i = n^{-1} \sum_{l=1}^n Y_l \psi_i(T_l) p^{-1}(T_l),$$

因為

$$E[\hat{a}_i] = E\{g_1(T)\psi_i(T)p^{-1}(T)\} = \int_0^2 g_1(t)\psi_i(t)dt = a_i.$$

但是往往我們不知道  $T$  的機率密度函數  $p$ , 所以我們會用  $\tilde{a}_i$  來估計,

$$\tilde{a}_i = n^{-1} \sum_{l=1}^n Y_l \psi_i(T_l) \tilde{p}^{-1}(T_l), \quad \tilde{p}(x) = \max \left( \gamma_n, \sum_{l=1}^{N_p} \tilde{p}_i \psi_i(x) \right), \quad \tilde{p}_i = \frac{1}{n} \sum_{i=0}^n \psi_i(T_l),$$

$$N_p = 1 + \lfloor [\ln(n)]^{\ln(\ln(n+20))} \rfloor, \quad \gamma_n = \frac{1}{2 \ln(\ln(n+20))}.$$

我們可以用  $\bar{\psi}_i^1$  和  $\bar{\psi}_i^2$  分別估計  $E \left[ \cos \frac{i\pi Z}{2} \right]$  和  $E \left[ \sin \frac{i\pi Z}{2} \right]$ ,

$$\bar{\psi}_i^1 = \frac{1}{n} \sum_{l=1}^n \cos \left( \frac{i\pi Z_l}{2} \right), \quad \bar{\psi}_i^2 = \frac{1}{n} \sum_{l=1}^n \sin \left( \frac{i\pi Z_l}{2} \right), \quad \bar{\psi}_0^1 = 1, \quad \bar{\psi}_0^2 = 0.$$

因為定理 1, 我們知道

$$h(x, z) = \sum_{j=0}^{\infty} \sum_{i=0}^{\infty} a_i C_{i,j} \left[ \cos \frac{i\pi z}{2} - E \left[ \cos \frac{i\pi Z}{2} \right] \right] \varphi_j(x)$$

$$- \sum_{j=0}^{\infty} \sum_{i=0}^{\infty} a_i D_{i,j} \left[ \sin \frac{i\pi z}{2} - E \left[ \sin \frac{i\pi Z}{2} \right] \right] \varphi_j(x).$$

因此我們用  $\tilde{h}(x, z)$  來估計  $h(x, z)$ :

$$\tilde{h}(x, z) = \sum_{j=0}^{N_h} \sum_{i=0}^{N_h} \tilde{a}_i C_{i,j} \left[ \cos \frac{i\pi z}{2} - \bar{\psi}_i^1 \right] \varphi_j(x) - \sum_{j=0}^{N_h} \sum_{i=0}^{N_h} \tilde{a}_i D_{i,j} \left[ \sin \frac{i\pi z}{2} - \bar{\psi}_i^2 \right] \varphi_j(x),$$

其中  $N_h = \lfloor \ln(n) + 5 \rfloor$ , 我們求得  $\tilde{h}(x, z)$  以後, 再用  $\tilde{Y}_{(l)}$  模仿  $Y_{(l)}^*$  代入 (3) 式,

$$\tilde{Y}_{(l)} = Y_{(l)} - \tilde{h}(X_{(l)}, Z_{(l)}),$$

而求得:

$$\hat{\theta}_r = \sum_{l=1}^n \tilde{Y}_{(l)} A_{rl},$$

然後用  $\hat{\theta}_r$  替代  $\hat{\theta}_r^*$  來估計  $\theta_r$ 。

**定理 2.** 假設:

- (1) 存在  $a$  使得  $p(t) \geq a \geq 0$  對於所有的  $t \in [0, 2]$ , 即  $T$  有大於 0 的下界 ( $T$  is bounded below from 0), 且  $p(t) \in C^1$ , 另外,  $X$  和  $Z$  也是如此,
- (2)  $E(\varepsilon_l^4) < C < \infty$ ,
- (3)  $h(x, z)$ ,  $f(x)$  有界,

則

$$E(\hat{\theta}_r - \hat{\theta}_r^*)^2 = c_{nr}n^{-1},$$

這裡  $c_{nr} \leq I(r \leq N_h)c_r + c_n^*$ ,  $c_r \leq CN_h$ ,  $c_n^* \rightarrow 0$ , 當  $n \rightarrow \infty$ 。

定理 3. 在與定理 2 同樣的假設下,

$$E \int_0^1 (\hat{f}(\{\hat{\theta}_j\}, x) - f(x))^2 dx \leq (1 + o(1))E \int_0^1 (\hat{f}(\{\hat{\theta}_j^*\}, x) - f(x))^2 dx,$$

這裡  $o(1)$  均勻收斂到 0, 對於  $f \in \mathcal{F}(\alpha, Q)$ 。

根據定理 3, 以及

$$\begin{aligned} & \sup_{f \in \mathcal{F}(\alpha, Q)} E \int_0^1 (\hat{f}(\{\hat{\theta}_j^*\}, x) - f(x))^2 dx \\ &= (1 + o(1)) \inf_{\check{f}^*(x)} \sup_{f \in \mathcal{F}(\alpha, Q)} E \int_0^1 (\check{f}^*(x) - f(x))^2 dx, \end{aligned}$$

我們可知

$$\hat{f}(\{\hat{\theta}_j\}, x) = \sum_{j=0}^{\infty} \mu_j \hat{\theta}_j \varphi_j(x),$$

也是一個漸進尖銳極小化最大值估計,

$$\begin{aligned} & \sup_{f \in \mathcal{F}(\alpha, Q)} E \int_0^1 (\hat{f}(\{\hat{\theta}_j\}, x) - f(x))^2 dx \\ &= (1 + o(1)) \inf_{\check{f}^*(x)} \sup_{f \in \mathcal{F}(\alpha, Q)} E \int_0^1 (\check{f}^*(x) - f(x))^2 dx. \end{aligned}$$

### 3. 多元輔助變數情況下的討論

考慮  $d > 1$ ,  $E(Y|X = x, Z = z) = g(x, z) = g_1(x + \beta'z)$ , ( $\beta$  已知) 的狀況, 定義

$$\min_{Z \in [0,1]^d} \beta'Z = c_\beta, \quad \max_{Z \in [0,1]^d} \beta'Z = d_\beta,$$

則  $c_\beta \leq X + \beta'Z \leq d_\beta + 1$ . 令  $r_\beta = d_\beta - c_\beta + 1$ , 跟  $d = 1$  時類似的, 我們可以定義

$$\begin{aligned} \varphi_0(x) &= 1, \quad \varphi_k(x) = \sqrt{2} \cos(k\pi x), \\ \psi_0^\beta(x) &= \frac{1}{\sqrt{r_\beta}}, \quad \psi_k^\beta(x) = \sqrt{\frac{2}{r_\beta}} \cos\left(\frac{k\pi x}{r_\beta}\right), \end{aligned}$$

則  $\{\varphi_k(x)|k=0,1,\dots\}$  為  $L^2[0,1]$  的一組正規基底,  $\{\psi_k^\beta(x)|k=0,1,\dots\}$  為  $L^2[c_\beta, d_\beta+1]$  的一組正規基底。同樣地, 我們可以用證明定理 1 的方法, 來得到  $h(x, z)$  的一個展式。設

$$\begin{aligned} a_i^\beta &= \int_{c_\beta}^{d_\beta+1} g_1(t)\psi_i^\beta(t)dt, \\ C_{i,j}^\beta &= \begin{cases} \int_0^1 \frac{1}{\sqrt{2}}\varphi_j(x)dx, & i=0, \\ \int_0^1 \cos\frac{i\pi x}{r_\beta}\varphi_j(x)dx, & i\neq 0, \end{cases} \\ D_{i,j}^\beta &= \int_0^1 \sin\frac{i\pi x}{r_\beta}\varphi_j(x)dx, \end{aligned}$$

且  $f(x) =: E[Y|X=x] \in L^2[0,1]$ , 則

$$\begin{aligned} h(x, z) &= \sum_{j=0}^{\infty} \sum_{i=0}^{\infty} \sqrt{\frac{2}{r_\beta}} a_i^\beta C_{i,j}^\beta \left[ \cos\left[\frac{i\pi\beta' z}{r_\beta}\right] - E\left[\cos\frac{i\pi\beta' Z}{r_\beta}\right] \right] \varphi_j(x) \\ &\quad - \sum_{j=0}^{\infty} \sum_{i=0}^{\infty} \sqrt{\frac{2}{r_\beta}} a_i^\beta D_{i,j}^\beta \left[ \sin\left[\frac{i\pi\beta' z}{r_\beta}\right] - E\left[\sin\frac{i\pi\beta' Z}{r_\beta}\right] \right] \varphi_j(x), \end{aligned}$$

然後定義

$$\begin{aligned} T_l^\beta &= X_l + \beta' Z_l, \\ \tilde{p}_i^\beta &= \frac{1}{n} \sum_{i=0}^n \psi_i^\beta(T_l^\beta), N_p = 1 + \lceil [\ln(n)]^{\ln(\ln(n+20))} \rceil, \gamma_n = \frac{1}{\gamma_\beta \ln(\ln(n+20))}, \\ \tilde{p}^\beta(x) &= \max\left(\gamma_n, \sum_{l=1}^{N_p} \tilde{p}_i^\beta \psi_i^\beta(x)\right), \\ \tilde{a}_i^\beta &= n^{-1} \sum_{l=1}^n Y_l \psi_i^\beta(T_l^\beta) / \tilde{p}^\beta(T_l^\beta), \\ \bar{\psi}_{i\beta}^1 &= \frac{1}{n} \sum_{l=1}^n \cos\left(\frac{i\pi\beta' Z_l}{r_\beta}\right), \bar{\psi}_{i\beta}^2 = \frac{1}{n} \sum_{l=1}^n \sin\left(\frac{i\pi\beta' Z_l}{r_\beta}\right), \end{aligned}$$

我們用  $\tilde{h}(x, z)$  估計  $h(x, z)$ ,

$$\begin{aligned} \tilde{h}(x, z) &= \sum_{j=0}^{N_h} \sum_{i=0}^{N_h} \sqrt{\frac{2}{r_\beta}} \tilde{a}_i^\beta C_{i,j}^\beta \left[ \cos\left[\frac{i\pi\beta' z}{r_\beta}\right] - \bar{\psi}_{i\beta}^1 \right] \varphi_j(x) \\ &\quad - \sum_{j=0}^{N_h} \sum_{i=0}^{N_h} \sqrt{\frac{2}{r_\beta}} \tilde{a}_i^\beta D_{i,j}^\beta \left[ \sin\left[\frac{i\pi\beta' z}{r_\beta}\right] - \bar{\psi}_{i\beta}^2 \right] \varphi_j(x), \\ N_h &= \lceil \ln(n) + 5 \rceil. \end{aligned}$$

我們定義

$$\hat{\theta}_r^\beta = \sum_{l=1}^n (Y_{(l)} - \tilde{h}(X_{(l)}, Z_{(l)})) A_{rl},$$

跟  $d = 1$  時類似地, 我們可以證明

$$\hat{f}(\{\hat{\theta}_j^\beta\}, x) = \sum_{j=0}^{\infty} \mu_j \hat{\theta}_j^\beta \varphi_j(x),$$

也是一個漸進尖銳極小化最大值估計。

#### 4. 模擬結果

以下實驗 1, 2 和 3, 我們分別將初始散點圖  $\{(X_l, Y_l)\}$  (簡稱 IS), 和降噪散點圖  $\{(X_l, \tilde{Y}_l)\}$  (簡稱 DS) 代入 Efromovich (1999, sec. 4.2) 的方法求  $f(x)$ , 得到模擬的結果。

1.  $g(x, z) = 6(x + z - 1)^2 - 1$ ,  $f(x) = 6x^2 - 6x + 1$ ;
2.  $g(x, z) = 2 \sin\left(\frac{\pi}{2}(x + 2z)\right)$ ,  $f(x) = \frac{4}{\pi} \cos\left(\frac{\pi}{2}x\right)$ ;
3.  $g(x, z) = \exp(x + z)$ ,  $f(x) = \exp(x)(\exp(1) - 1)$ ;

圖 1–4 為實驗 1 和 2 的模擬結果, 模擬的誤差 (error) 服從  $N(0, 0.1)$ , 樣本數  $n = 200, 400$ 。  $X$  和  $Z$  皆服從  $[0, 1]$  的均勻分布 (uniform distribution)。

除了 IS estimate 和 DS estimate 以外, 我們用  $\{(X_l, Y_l - h(X_l, Z_l))\}$  代入 Efromovich (1999, sec. 4.2) 的方法, 得到 oracle estimate。然後經過 500 次模擬, 求出它們的 ISE 的平均值, 分別以 AISEIS, AISEDS, AISEO 表示。我們討論  $n = 200, 400$ , 誤差服從  $N(0, 0.1)$ ,  $N(0, 0.5)$ ,  $N(0, 1)$  的狀況, 並將  $(\frac{AISEDS}{AISEIS})100$ ,  $(\frac{AISEO}{AISEDS})100$  展示在表 1 和表 2。從表 1, 2 中, 可以知道 DS estimate 比 IS estimate 好, 而且當變異數固定,  $n$  變大時,  $(\frac{AISEDS}{AISEIS})100$  有變小的趨勢,  $(\frac{AISEO}{AISEDS})100$  有變大的趨勢。

至於實驗 3, 模擬的結果 DS estimate 沒有像實驗 1, 2 明顯比 IS estimate 好, 但是 AISEDS 算出的結果仍然是比 AISEIS 小的, 表 3 提供五百次模擬所算出的  $(\frac{AISEDS}{AISEIS})100$ 。



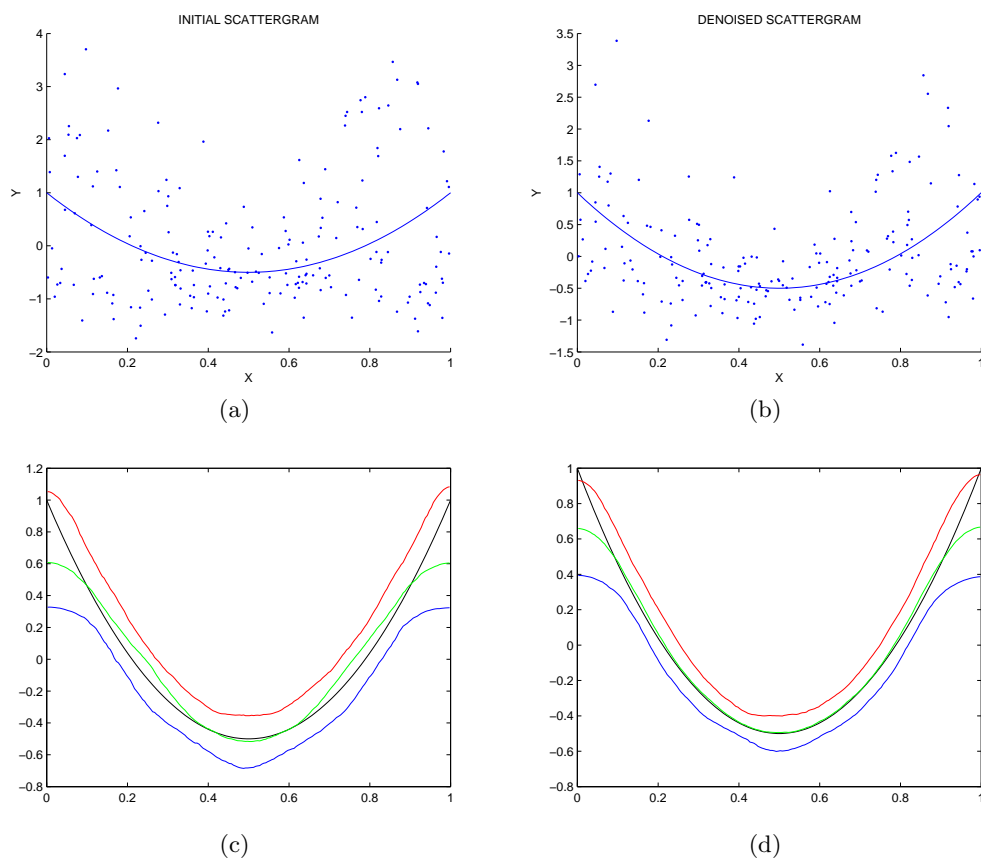


圖 1  $n = 200$ , (a) 和 (b) 分別是實驗 1  $\{(X_l, Y_l)\}$  和  $\{(X_l, \tilde{Y}_l)\}$  的散點圖。(c) 和 (d) 分別為實驗 1 中 IS 估計和 DS 估計的第九十分位數曲線 (紅線), 第五十分位數曲線 (綠線), 第十百分位數曲線 (藍線) 和真實曲線 (黑線)。

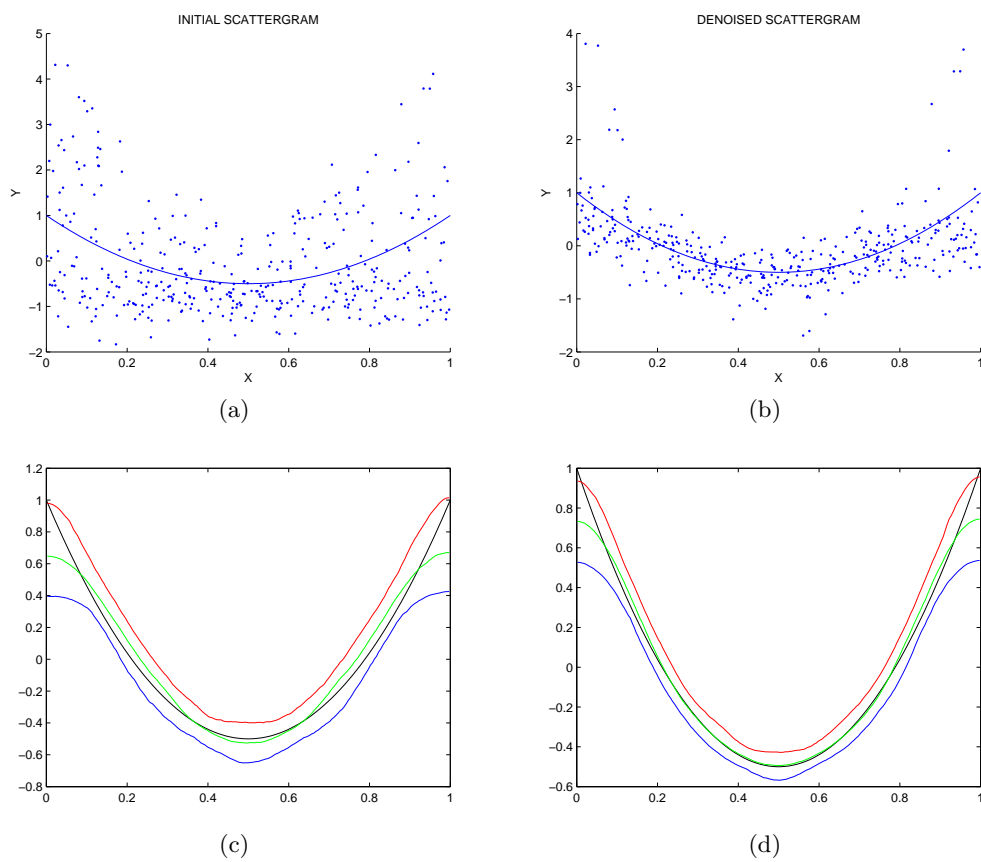


圖 2  $n = 400$ , (a) 和 (b) 分別是實驗 1  $\{(X_i, Y_i)\}$  和  $\{(X_i, \tilde{Y}_i)\}$  的散點圖。(c) 和 (d) 分別為實驗 1 中 IS 估計和 DS 估計的第九十分位數曲線 (紅線), 第五十分位數曲線 (綠線), 第十百分位數曲線 (藍線) 和真實曲線 (黑線)。

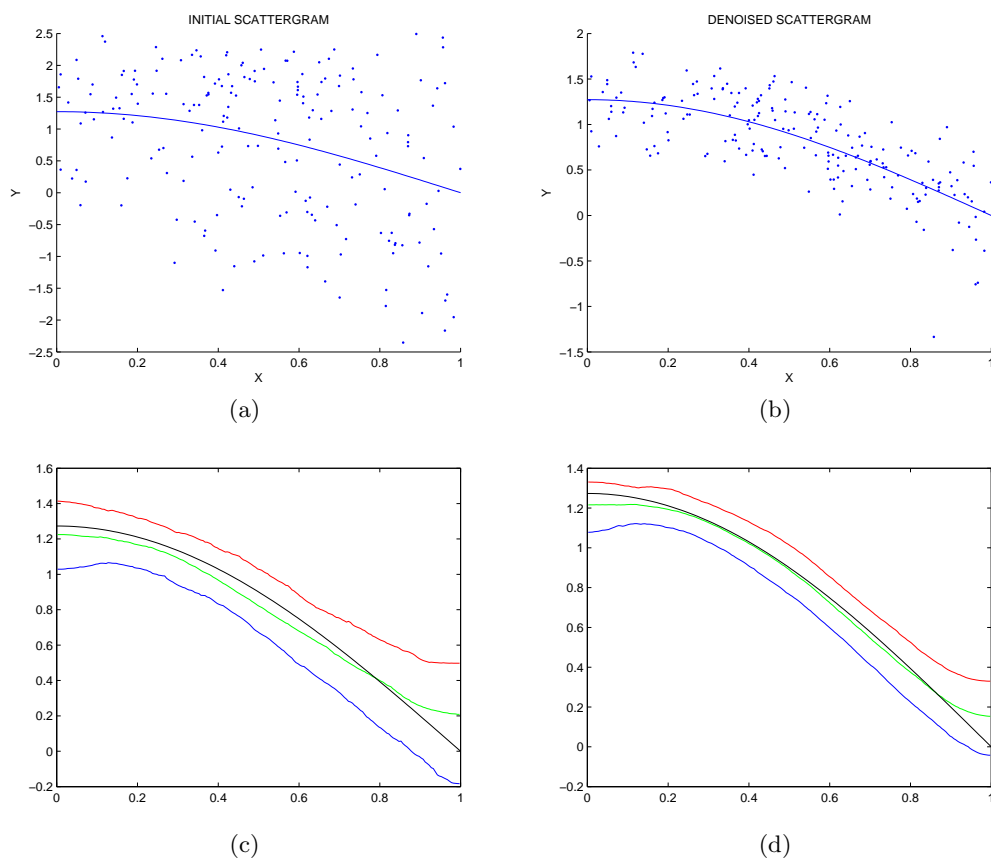


圖 3  $n = 200$ , (a) 和 (b) 分別是實驗 2  $\{(X_l, Y_l)\}$  和  $\{(X_l, \tilde{Y}_l)\}$  的散點圖。(c) 和 (d) 分別為實驗 2 中 IS 估計和 DS 估計的第九十分位數曲線 (紅線), 第五十分位數曲線 (綠線), 第十百分位數曲線 (藍線) 和真實曲線 (黑線)。

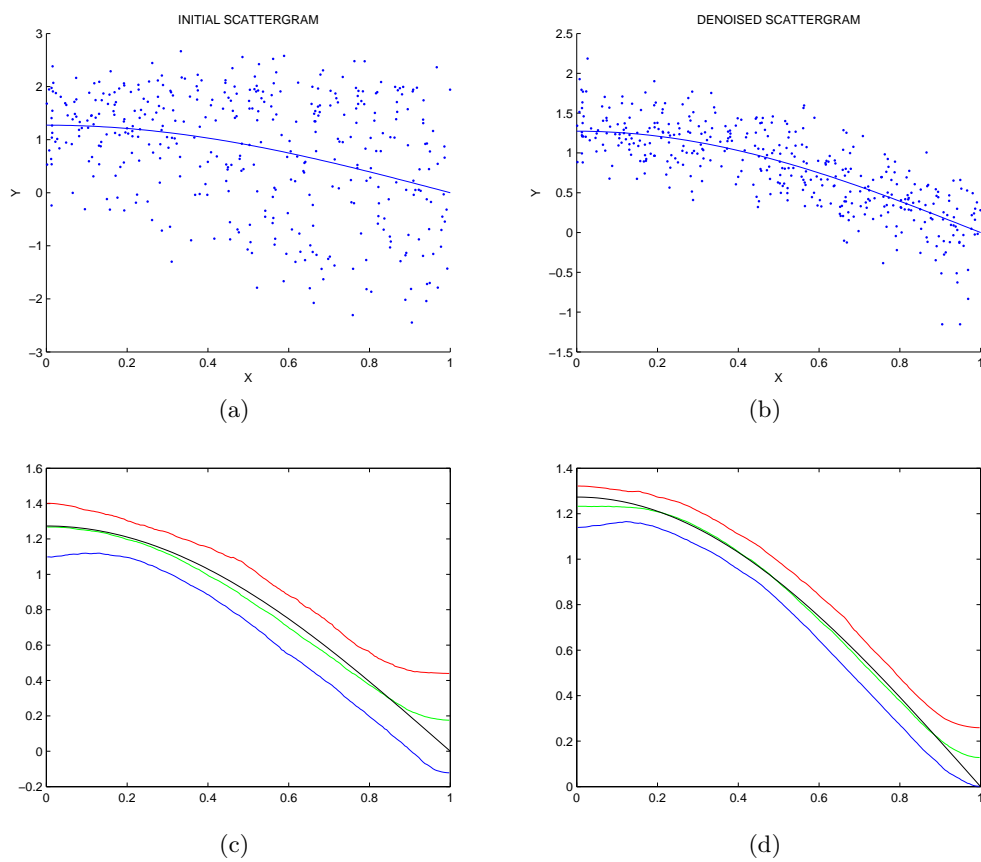


圖 4  $n = 400$ , (a) 和 (b) 分別是實驗 2  $\{(X_l, Y_l)\}$  和  $\{(X_l, \tilde{Y}_l)\}$  的散點圖。(c) 和 (d) 分別為實驗 2 中 IS 估計和 DS 估計的第九十分位數曲線 (紅線), 第五十分位數曲線 (綠線), 第十百分位數曲線 (藍線) 和真實曲線 (黑線)。

表 1  $\left(\frac{AISED_S}{AISEIS}\right) 100$ 

	$n = 200$			$n = 400$		
	$\sigma^2 = 0.1$	$\sigma^2 = 0.5$	$\sigma^2 = 1$	$\sigma^2 = 0.1$	$\sigma^2 = 0.5$	$\sigma^2 = 1$
實驗 1	53.0	64.7	67.7	45.2	61.0	69.2
實驗 2	36.2	49.4	59.1	32.6	50.9	62.6

表 2  $\left(\frac{AISEO}{AISED_S}\right) 100$ 

	$n = 200$			$n = 400$		
	$\sigma^2 = 0.1$	$\sigma^2 = 0.5$	$\sigma^2 = 1$	$\sigma^2 = 0.1$	$\sigma^2 = 0.5$	$\sigma^2 = 1$
實驗 1	31.4	58.7	72.3	33.2	64.1	74.3
實驗 2	38.7	68.3	80.4	39.3	70.9	79.5

表 3  $\left(\frac{AISED_S}{AISEIS}\right) 100$ 

	$n = 200$			$n = 400$		
	$\sigma^2 = 0.1$	$\sigma^2 = 0.5$	$\sigma^2 = 1$	$\sigma^2 = 0.1$	$\sigma^2 = 0.5$	$\sigma^2 = 1$
實驗 3	89.3	90.7	94.3	79.3	89.7	93.3

## 附錄

定理 1 之證明:

$$\begin{aligned}
 a_i &= \int_0^2 g_1(t)\psi_i(t)dt \Rightarrow g_1(t) = \sum_{i=0}^{\infty} a_i\psi_i(t) \\
 \Rightarrow g(x, z) &= g_1(x+z) = \sum_{i=0}^{\infty} a_i\psi_i(x+z) = \frac{a_0}{\sqrt{2}} + \sum_{i=1}^{\infty} a_i \cos\left(\frac{i\pi(x+z)}{2}\right) \\
 &= \frac{a_0}{\sqrt{2}} + \sum_{i=1}^{\infty} a_i \left( \cos\left(\frac{i\pi x}{2}\right) \cos\left(\frac{i\pi z}{2}\right) - \sin\left(\frac{i\pi x}{2}\right) \sin\left(\frac{i\pi z}{2}\right) \right), \quad (\text{A.1})
 \end{aligned}$$

$$f(x) = \int_0^1 g(x, z)f_{Z|X}(z)dz = \int_0^1 g(x, z)f_Z(z)dz \quad (\text{因爲 } X \text{ 和 } Z \text{ 互相獨立}),$$

$$\begin{aligned}
 \langle f(x), \varphi_j(x) \rangle &= \int_0^1 f(x)\varphi_j(x)dx = \int_0^1 \left[ \int_0^1 g(x, z)f_Z(z)dz \right] \varphi_j(x)dx \\
 &= a_0 C_{0,j} + \int_0^1 \left\{ \int_0^1 \left[ \sum_{i=1}^{\infty} a_i \left( \cos\left(\frac{i\pi x}{2}\right) \cos\left(\frac{i\pi z}{2}\right) - \sin\left(\frac{i\pi x}{2}\right) \sin\left(\frac{i\pi z}{2}\right) \right) \right] \varphi_j(x)dx \right\} f_Z(z)dz \\
 &= a_0 C_{0,j} + \int_0^1 \left\{ \sum_{i=1}^{\infty} a_i \left( C_{i,j} \cos\left(\frac{i\pi z}{2}\right) - D_{i,j} \sin\left(\frac{i\pi z}{2}\right) \right) \right\} f_Z(z)dz \\
 &= \sum_{i=0}^{\infty} a_i \{ C_{i,j} \text{E} \left[ \cos \frac{i\pi Z}{2} \right] - D_{i,j} \text{E} \left[ \sin \frac{i\pi Z}{2} \right] \},
 \end{aligned}$$

因爲  $f(x) \in L^2[0, 1]$ , 且  $\{\varphi_j(x) | j = 0, 1, \dots\}$  爲  $L^2[0, 1]$  的一組正規基底, 所以

$$\begin{aligned}
 f(x) &= \sum_{j=0}^{\infty} \langle f(x), \varphi_j(x) \rangle \varphi_j(x) \\
 &= \sum_{j=0}^{\infty} \sum_{i=0}^{\infty} a_i C_{i,j} \text{E} \left[ \cos \frac{i\pi Z}{2} \right] \varphi_j(x) - \sum_{j=0}^{\infty} \sum_{i=0}^{\infty} a_i D_{i,j} \text{E} \left[ \sin \frac{i\pi Z}{2} \right] \varphi_j(x).
 \end{aligned}$$

因爲

$$\frac{1}{\sqrt{2}} = \sum_{j=0}^{\infty} C_{0,j} \varphi_j(x), \quad \cos\left(\frac{i\pi x}{2}\right) = \sum_{j=0}^{\infty} C_{i,j} \varphi_j(x), \quad \sin\left(\frac{i\pi x}{2}\right) = \sum_{j=0}^{\infty} D_{i,j} \varphi_j(x),$$

所以由 (A.1)

$$g(x, z) = \sum_{j=0}^{\infty} \sum_{i=0}^{\infty} a_i C_{i,j} \cos \frac{i\pi z}{2} \varphi_j(x) - \sum_{j=0}^{\infty} \sum_{i=0}^{\infty} a_i D_{i,j} \sin \frac{i\pi z}{2} \varphi_j(x),$$

最後得証

$$\begin{aligned} h(x, z) &= g(x, z) - f(x) \\ &= \sum_{j=0}^{\infty} \sum_{i=0}^{\infty} a_i C_{i,j} \left[ \cos \frac{i\pi z}{2} - E \left[ \cos \frac{i\pi Z}{2} \right] \right] \varphi_j(x) \\ &\quad - \sum_{j=0}^{\infty} \sum_{i=0}^{\infty} a_i D_{i,j} \left[ \sin \frac{i\pi z}{2} - E \left[ \sin \frac{i\pi Z}{2} \right] \right] \varphi_j(x). \end{aligned}$$

爲了證明定理 2, 我們需要以下引理的結果, 稍後我們再驗證。

引理 1.  $\sum_{l=1}^n |A_{rl}| = \sum_{l=1}^n |s^{-1} \int_{B_l} \varphi_r(x) dx| \leq \sqrt{2}$ .

引理 2.  $E A_{rl}^4 \leq C n^{-4}$ , 這裡的  $C$  跟  $r$  與  $l$  無關, 且

$$\sum_{l=1}^n \varphi_i(X_{(l)}) A_{rl} = \int_0^1 \varphi_i(x) \varphi_r(x) dx + i s n^{-1} \tau_{ir},$$

$E \tau_{ir}^4 \leq C$  對於所有的  $i$  和  $r$ 。

引理 3. 定義

$$\begin{aligned} \tilde{p}_{-l}(x) &= \max \left( \gamma_n, \sum_{i=1}^{N_p} \tilde{p}_{-li} \psi_i(x) \right), \quad \tilde{p}_{-li} = \frac{1}{n} \sum_{t \neq l} \psi_i(T_{(t)}), \\ N_p &= 1 + \lceil [\ln(n)]^{\ln(n)(\ln(n+20))} \rceil, \quad \gamma_n = \frac{1}{2 \ln(\ln(n+20))}, \end{aligned}$$

則

$$\max_{1 \leq l \leq n} \max_{t \in [0, 2]} |\tilde{p}_{-l}(x) - \tilde{p}(x)| \leq C N_p n^{-1}.$$

引理 4. 定義

$$\begin{aligned} \tilde{a}_i &= n^{-1} \sum_{t=1}^n Y_{(t)} \psi_i(T_{(t)}) \tilde{p}^{-1}(T_{(t)}) \\ &= \left[ n^{-1} Y_{(l)} \psi_i(T_{(l)}) \tilde{p}^{-1}(T_{(l)}) + n^{-1} \sum_{t \neq l} Y_{(t)} \psi_i(T_{(t)}) \frac{\tilde{p}_{-l}(T_{(t)}) - \tilde{p}(T_{(t)})}{\tilde{p}_{-l}(T_{(t)}) \tilde{p}(T_{(t)})} \right] \\ &\quad + \left[ n^{-1} \sum_{t \neq l} Y_{(t)} \psi_i(T_{(t)}) \tilde{p}_{-l}^{-1}(T_{(t)}) \right] \\ &=: \tilde{a}_{li} + \tilde{a}_{-li}, \end{aligned}$$

則

$$\max_{1 \leq l \leq n} \max_{i \leq N_h} E \tilde{a}_{li}^4 \leq C \gamma_n^{-4} n^{-4} N_p^4,$$

同樣地, 定義

$$\begin{aligned} \tilde{a}_{-l_1 i} &= n^{-1} \sum_{t \neq l_1}^n Y_{(t)} \psi_i(T_{(t)}) \tilde{p}_{-l_1}^{-1}(T_{(t)}) \\ &= \left[ n^{-1} Y_{(l_2)} \psi_i(T_{(l_2)}) \tilde{p}_{-l_1}^{-1}(T_{(l_2)}) + n^{-1} \sum_{t \neq l_1, l_2} Y_{(t)} \psi_i(T_{(t)}) \frac{\tilde{p}_{-l_1, l_2}(T_{(t)}) - \tilde{p}_{-l_1}(T_{(t)})}{\tilde{p}_{-l_1, l_2}(T_{(t)}) \tilde{p}_{-l_1}(T_{(t)})} \right] \\ &\quad + \left[ n^{-1} \sum_{t \neq l}^n Y_{(t)} \psi_i(T_{(t)}) \tilde{p}_{-l}^{-1}(T_{(t)}) \right] \\ &=: \tilde{a}_{l_1 l_2 i} + \tilde{a}_{-l_1 l_2 i}, \end{aligned}$$

則

$$\max_{l_1, l_2} \max_{i \leq N_h} E \tilde{a}_{l_1 l_2 i}^4 \leq C \gamma_n^{-4} n^{-4} N_p^4.$$

引理 5.  $E \max_{i, j \leq N_h} (\tilde{a}_i - a_i)^4 \leq C \gamma_n^{-4} [N_p^{-1}]$ .

定理 2 之證明:

$$\begin{aligned} \hat{\theta}_r &= \sum_l [Y_{(l)} - \tilde{h}(X_{(l)}, Z_{(l)})] A_{rl} \\ &= \sum_l [Y_{(l)}^* + h(X_{(l)}, Z_{(l)}) - \tilde{h}(X_{(l)}, Z_{(l)})] A_{rl} \\ &= \sum_l Y_{(l)}^* A_{rl} + \sum_l [h(X_{(l)}, Z_{(l)}) - \tilde{h}(X_{(l)}, Z_{(l)})] A_{rl} \\ &=: \hat{\theta}_r^* + \delta_r, \end{aligned}$$

因此

$$\hat{\theta}_r - \hat{\theta}_r^* = \delta_r,$$



且我們知道

$$\begin{aligned}
h(x, z) &= \sum_{j=0}^{\infty} \sum_{i=0}^{\infty} a_i C_{i,j} \left[ \cos \frac{i\pi z}{2} - \mathbb{E} \left[ \cos \frac{i\pi Z}{2} \right] \right] \varphi_j(x) \\
&\quad - \sum_{j=0}^{\infty} \sum_{i=0}^{\infty} a_i D_{i,j} \left[ \sin \frac{i\pi z}{2} - \mathbb{E} \left[ \sin \frac{i\pi Z}{2} \right] \right] \varphi_j(x) \\
&=: \sum_{j=0}^{N_h} \sum_{i=0}^{N_h} a_i C_{i,j} \left[ \cos \frac{i\pi z}{2} - \mathbb{E} \left[ \cos \frac{i\pi Z}{2} \right] \right] \varphi_j(x) \\
&\quad - \sum_{j=0}^{N_h} \sum_{i=0}^{N_h} a_i D_{i,j} \left[ \sin \frac{i\pi z}{2} - \mathbb{E} \left[ \sin \frac{i\pi Z}{2} \right] \right] \varphi_j(x) + h_n(x, z), \\
\tilde{h}(x, z) &= \sum_{j=0}^{N_h} \sum_{i=0}^{N_h} \tilde{a}_i C_{i,j} \left[ \cos \frac{i\pi z}{2} - \bar{\psi}_i^1 \right] \varphi_j(x) \\
&\quad - \sum_{j=0}^{N_h} \sum_{i=0}^{N_h} \tilde{a}_i D_{i,j} \left[ \sin \frac{i\pi z}{2} - \bar{\psi}_i^2 \right] \varphi_j(x),
\end{aligned}$$

所以,

$$\begin{aligned}
\tilde{h}(x, z) - h(x, z) &= \sum_{j=0}^{N_h} \sum_{i=0}^{N_h} (\tilde{a}_i - a_i) C_{i,j} \left[ \cos \frac{i\pi z}{2} - \bar{\psi}_i^1 \right] \varphi_j(x) \\
&\quad + \sum_{j=0}^{N_h} \sum_{i=0}^{N_h} a_i C_{i,j} \left[ \mathbb{E} \cos \frac{i\pi Z}{2} - \bar{\psi}_i^1 \right] \varphi_j(x) \\
&\quad - \sum_{j=0}^{N_h} \sum_{i=0}^{N_h} (\tilde{a}_i - a_i) D_{i,j} \left[ \sin \frac{i\pi z}{2} - \bar{\psi}_i^2 \right] \varphi_j(x) \\
&\quad - \sum_{j=0}^{N_h} \sum_{i=0}^{N_h} a_i D_{i,j} \left[ \mathbb{E} \sin \frac{i\pi Z}{2} - \bar{\psi}_i^2 \right] \varphi_j(x) - h_n(x, z),
\end{aligned}$$

因此,

$$\begin{aligned}
-\delta_r &= \sum_l [\tilde{h}(X_{(l)}, Z_{(l)}) - h(X_{(l)}, Z_{(l)})] A_{rl} \\
&= \left[ \sum_l \sum_{j=0}^{N_h} \sum_{i=0}^{N_h} (\tilde{a}_i - a_i) C_{i,j} \left( \cos \frac{i\pi Z_{(l)}}{2} - \bar{\psi}_i^1 \right) \varphi_j(X_{(l)}) A_{rl} \right] \\
&\quad + \left[ \sum_l \sum_{j=0}^{N_h} \sum_{i=0}^{N_h} a_i C_{i,j} \left( \mathbb{E} \cos \frac{i\pi Z}{2} - \bar{\psi}_i^1 \right) \varphi_j(X_{(l)}) A_{rl} \right] \\
&\quad + \left[ - \sum_l \sum_{j=0}^{N_h} \sum_{i=0}^{N_h} (\tilde{a}_i - a_i) D_{i,j} \left( \sin \frac{i\pi Z_{(l)}}{2} - \bar{\psi}_i^2 \right) \varphi_j(X_{(l)}) A_{rl} \right] \\
&\quad + \left[ - \sum_l \sum_{j=0}^{N_h} \sum_{i=0}^{N_h} a_i D_{i,j} \left( \mathbb{E} \sin \frac{i\pi Z}{2} - \bar{\psi}_i^2 \right) \varphi_j(X_{(l)}) A_{rl} \right] + \left[ - \sum_l h_n(X_{(l)}, Z_{(l)}) A_{rl} \right] \\
&=: D_1 + D_2 + D_3 + D_4 + D_5.
\end{aligned}$$

容易驗證的,  $\mathbb{E}(\delta_r)^2 \leq 5[\mathbb{E}D_1^2 + \mathbb{E}D_2^2 + \mathbb{E}D_3^2 + \mathbb{E}D_4^2 + \mathbb{E}D_5^2]$ .

$$\begin{aligned}
D_1 &= \left[ \sum_l \sum_{j=0}^{N_h} \sum_{i=0}^{N_h} (\tilde{a}_{-li} - a_i) C_{i,j} \left( \cos \frac{i\pi Z_{(l)}}{2} - \bar{\psi}_i^1 \right) \varphi_j(X_{(l)}) A_{rl} \right] \\
&\quad + \left[ \sum_l \sum_{j=0}^{N_h} \sum_{i=0}^{N_h} (\tilde{a}_{li}) C_{i,j} \left( \cos \frac{i\pi Z_{(l)}}{2} - \bar{\psi}_i^1 \right) \varphi_j(X_{(l)}) A_{rl} \right] \\
&=: D_{11} + D_{12}, \\
|D_{12}| &\leq C \left( \sum_{i,j \leq N_h} |\tilde{a}_{li}| \right) \left( \sum_l |A_{rl}| \right) \leq C \left( \sum_{i,j \leq N_h} |\tilde{a}_{li}| \right), \\
\mathbb{E}D_{12}^2 &\leq CN_h^4 N_p^2 n^{-2} \gamma_n^{-2} = o(1)n^{-1}, \\
D_{11} &= \left[ \sum_l \sum_{j=0}^{N_h} \sum_{i=0}^{N_h} (\tilde{a}_{-li} - a_i) C_{i,j} \left( \cos \frac{i\pi Z_{(l)}}{2} - \mathbb{E} \cos \frac{i\pi Z}{2} \right) \varphi_j(X_{(l)}) A_{rl} \right] \\
&\quad + \left[ \sum_l \sum_{j=0}^{N_h} \sum_{i=0}^{N_h} (\tilde{a}_{-li} - a_i) C_{i,j} \left( \mathbb{E} \cos \frac{i\pi Z}{2} - \bar{\psi}_i^1 \right) \varphi_j(X_{(l)}) A_{rl} \right] \\
&=: V_1 + V_2.
\end{aligned}$$

$$\begin{aligned}
V_1^2 &= \sum_l \left[ A_{rl} \sum_{j \leq N_h} \sum_{i \leq N_h} (\tilde{a}_{-li} - a_i) C_{i,j} \left( \cos \frac{i\pi Z(l)}{2} - \mathbb{E} \cos \frac{i\pi Z}{2} \right) \varphi_j(X(l)) \right]^2 \\
&\quad + \sum_{l_1 \neq l_2} \left[ A_{rl_1} \sum_{j \leq N_h} \sum_{i \leq N_h} (\tilde{a}_{-l_1 i} - a_i) C_{i,j} \left( \cos \frac{i\pi Z(l_1)}{2} - \mathbb{E} \cos \frac{i\pi Z}{2} \right) \varphi_j(X(l_1)) \right] \\
&\quad \left[ A_{rl_2} \sum_{j \leq N_h} \sum_{i \leq N_h} (\tilde{a}_{-l_2 i} - a_i) C_{i,j} \left( \cos \frac{i\pi Z(l_2)}{2} - \mathbb{E} \cos \frac{i\pi Z}{2} \right) \varphi_j(X(l_2)) \right] \\
&=: V_{11} + V_{12}, \\
\mathbb{E}V_{11} &\leq C\mathbb{E} \sum_l \left[ |A_{rl}| \sum_{j \leq N_h} \sum_{i \leq N_h} |\tilde{a}_i - a_i| \right]^2 + C\mathbb{E} \sum_l \left[ |A_{rl}| \sum_{j \leq N_h} \sum_{i \leq N_h} |\tilde{a}_{li}| \right]^2 \\
&\leq CN_h^2 \sum_l \mathbb{E} \left[ |A_{rl}| \max_{i,j \leq N_h} |\tilde{a}_i - a_i| \right]^2 + CN_h^2 \sum_l \max_l \max_{i,j \leq N_h} \mathbb{E}[|A_{rl}| |\tilde{a}_{li}|]^2 \\
&\leq CN_h^2 \sum_l \mathbb{E}^{\frac{1}{2}} [A_{rl}^4] \left[ \mathbb{E}^{\frac{1}{2}} \left[ \max_{i,j \leq N_h} |\tilde{a}_i - a_i|^4 \right] + \max_l \max_{i,j \leq N_h} \mathbb{E}^{\frac{1}{2}} [|\tilde{a}_{li}|^4] \right] \\
&\leq CN_h^2 \sum_l \mathbb{E}^{\frac{1}{2}} [A_{rl}^4] [Cr_n^{-4} N_p^{-1} + r_n^{-2} n^{-2} N_p^2] = o(1)n^{-1}, \\
\mathbb{E}V_{12} &\leq \sum_{l_1 \neq l_2} \left\{ \mathbb{E} \left[ A_{rl_1} \sum_{j \leq N_h} \sum_{i \leq N_h} (\tilde{a}_{l_1 l_2 i}) C_{i,j} \left( \cos \frac{i\pi Z(l_1)}{2} - \mathbb{E} \cos \frac{i\pi Z}{2} \right) \varphi_j(X(l_1)) \right]^2 \right\}^{\frac{1}{2}} \\
&\quad \left\{ \mathbb{E} \left[ A_{rl_2} \sum_{j \leq N_h} \sum_{i \leq N_h} (\tilde{a}_{l_2 l_1 i}) C_{i,j} \left( \cos \frac{i\pi Z(l_2)}{2} - \mathbb{E} \cos \frac{i\pi Z}{2} \right) \varphi_j(X(l_2)) \right]^2 \right\}^{\frac{1}{2}} \\
&\leq \sum_{l_1 \neq l_2} \left\{ N_h^2 \mathbb{E} A_{rl_1}^4 \max_{i \leq N_h} \mathbb{E} \tilde{a}_{l_1 l_2 i}^4 \right\}^{\frac{1}{4}} \left\{ N_h^2 \mathbb{E} A_{rl_2}^4 \max_{i \leq N_h} \mathbb{E} \tilde{a}_{l_2 l_1 i}^4 \right\}^{\frac{1}{4}} = n^{-1} o(1). \\
|V_2| &\leq C \left( \max_l \max_{i \leq N_h} |\tilde{a}_{-li} - a_i| \right) \sum_{i,j \leq N_h} \left| \mathbb{E} \cos \frac{i\pi Z}{2} - \bar{\psi}_i^1 \right| \sum_l |A_{rl}| \\
&\leq CN_h \left( \max_l \max_{i \leq N_h} |\tilde{a}_{-li} - a_i| \right) \sum_{i \leq N_h} \left| \mathbb{E} \cos \frac{i\pi Z}{2} - \bar{\psi}_i^1 \right|, \\
\mathbb{E}V_2^2 &\leq CN_h^2 \mathbb{E}^{\frac{1}{2}} \left[ \max_l \max_{i \leq N_h} (\tilde{a}_{-li} - a_i)^4 \right] \times \mathbb{E}^{\frac{1}{2}} \left[ \sum_{i \leq N_h} \left| \mathbb{E} \cos \frac{i\pi Z}{2} - \bar{\psi}_i^1 \right| \right]^4 \\
&\leq CN_h^2 \left\{ \mathbb{E}^{\frac{1}{2}} \left[ \max_{i \leq N_h} (\tilde{a}_i - a_i)^4 \right] + \mathbb{E}^{\frac{1}{2}} \left[ \max_l \max_{i \leq N_h} (\tilde{a}_{li})^4 \right] \right\} N_h^2 n^{-1} \\
&= o(1)n^{-1}.
\end{aligned}$$

從引理 2 我們得知

$$\sum_{l=1}^n \varphi_j(X_{(l)}) A_{rl} = \int_0^1 \varphi_j(x) \varphi_r(x) dx + j s n^{-1} \tau_{jr},$$

$E\tau_{jr}^4 \leq C$  對於所有的  $j$  和  $r$ , 因此,

$$\begin{aligned} |D_2| &= \left| \sum_l \sum_{j \leq N_h} \sum_{i \leq N_h} a_i C_{i,j} \left( E \cos \frac{i\pi Z}{2} - \bar{\psi}_i^1 \right) \varphi_j(X_{(l)}) A_{rl} \right| \\ &= \left| \sum_{j \leq N_h} \sum_{i \leq N_h} a_i C_{i,j} \left( E \cos \frac{i\pi Z}{2} - \bar{\psi}_i^1 \right) [I(j=r) + j s n^{-1} \tau_{jr}] \right| \\ &= \left| \sum_{i \leq N_h} a_i C_{i,r} \left( E \cos \frac{i\pi Z}{2} - \bar{\psi}_i^1 \right) I(r \leq N_h) \right. \\ &\quad \left. + s n^{-1} \sum_{j \leq N_h} \sum_{i \leq N_h} j a_i C_{i,j} \left( E \cos \frac{i\pi Z}{2} - \bar{\psi}_i^1 \right) \tau_{jr} \right| \\ &\leq \left| n^{-1} \sum_l \sum_{i \leq N_h} a_i C_{i,r} \left( E \cos \frac{i\pi Z}{2} - \bar{\psi}_i^1 \right) I(r \leq N_h) \right| \\ &\quad + s n^{-1} \left[ \sum_{i,j \leq N_h} (a_i C_{i,j})^2 \left( E \cos \frac{i\pi Z}{2} - \bar{\psi}_i^1 \right)^2 \sum_{i,j \leq N_h} j^2 \tau_{jr}^2 \right]^{\frac{1}{2}} \\ &=: D_{21} + D_{22}. \end{aligned}$$

$$ED_{22}^2 = o(1)n^{-1},$$

$$\begin{aligned} ED_{21}^2 &= I(r \leq N_h) n^{-1} E \left[ \sum_{i \leq N_h} a_i C_{i,r} \left( E \cos \frac{i\pi Z}{2} - \cos \frac{i\pi Z}{2} \right) \right]^2 \\ &\leq I(r \leq N_h) n^{-1} N_h \sum_{i \leq N_h} E \left[ a_i C_{i,r} \left( E \cos \frac{i\pi Z}{2} - \cos \frac{i\pi Z}{2} \right) \right]^2 \\ &\leq CI(r \leq N_h) n^{-1} N_h, \end{aligned}$$

因為

$$ED_{22}^2 = o(1)n^{-1}, \quad ED_{21}^2 \leq CI(r \leq N_h) n^{-1} N_h,$$

所以

$$ED_2^2 \leq C n^{-1} [I(r \leq N_h) N_h + o(1)],$$

類似的方法也可以證明

$$ED_4^2 \leq Cn^{-1} [I(r \leq N_h)N_h + o(1)].$$

接下來我們計算  $ED_5^2$ , 因為,

$$\begin{aligned} E [h_n(X_{(l_1)}, Z_{(l_1)})h_n(X_{(l_2)}, Z_{(l_2)}) | X_1, \dots, X_n] &= 0, \quad l_1 \neq l_2, \\ \int h_n^4(x, z) dx dz &= o(1), \end{aligned}$$

所以,

$$\begin{aligned} ED_5^2 &= \sum_l E h_n^2(X_{(l_1)}, Z_{(l_1)}) A_{rl}^2 \leq \sum_l [E[A_{rl}^4] E[h_n^4(X_{(l_1)}, Z_{(l_1)})]] \\ &\leq Cn^{-2} \sum_l \sqrt{E[h_n^4(X_{(l_1)}, Z_{(l_1)})]} \leq Cn^{-2} \sum_l \sqrt{\int h_n^4(x, z) dx dz} \\ &= o(1)n^{-1}, \end{aligned}$$

綜合所有結果可知

$$E\delta_r^2 \leq Cn^{-1} [I(r \leq N_h)N_h + o(1)].$$

我們現在來證明引理 1-5:

引理 1 之證明:  $\sum_l \left| s^{-1} \int_{B_l} \varphi_r(x) dx \right| \leq \sum_l \left| s^{-1} \int_{B_l} dx \right| \leq \sqrt{2}.$

引理 2 之證明: 如 Efromovich and Pinsker (1996) 的 (3.14) 和 (3.26)。

引理 3 之證明: 已知

$$\tilde{p}_{-li} = \frac{1}{n} \sum_{t \neq l}^n \psi_i(T(t)), \quad N_p = 1 + \lceil [\ln(n)]^{\ln(n)(\ln(n+20))} \rceil, \quad \gamma_n = \frac{1}{2 \ln(\ln(n+20))},$$

而且,

$$|\tilde{p}_{-li} - \tilde{p}_i| = n^{-1} |\psi_i(T(l))| \leq \max_{i \leq N_p} \max_x |\psi_i(x)| n^{-1} \leq Cn^{-1},$$

所以,

$$\max_{1 \leq l \leq n} \max_{t \in [0,2]} |\tilde{p}_{-l}(t) - \tilde{p}(t)| \leq CN_p n^{-1}.$$

引理 4 之證明:

$$\tilde{a}_{li} = \left[ n^{-1} Y_{(l)} \psi_i(T_{(l)}) \tilde{p}^{-1}(T_{(l)}) + n^{-1} \sum_{t \neq l} Y_{(t)} \psi_i(T_{(t)}) \frac{\tilde{p}_{-l}(T_{(t)}) - \tilde{p}(T_{(t)})}{\tilde{p}_{-l}(T_{(t)}) \tilde{p}(T_{(t)})} \right],$$

$$\max_{i \leq N_h} |\tilde{a}_{li}| \leq C n^{-1} \gamma_n^{-1} (1 + |\varepsilon_{(l)}|) + C \gamma_n^{-2} \max_{t \in [0,2]} |\tilde{p}_{-l}(x) - \tilde{p}(x)| (1 + |\varepsilon_{(l)}|),$$

所以,

$$\max_{1 \leq l \leq n} \max_{i \leq N_h} E \tilde{a}_{li}^4 \leq C \gamma_n^{-4} n^{-4} N_p^4.$$

引理 5 之證明:

$$\begin{aligned} \tilde{a}_i - a_i &= n^{-1} \sum_{l=1}^n [Y_l \psi_i(T_l) \tilde{p}^{-1}(T_l) - a_i] \\ &= \left\{ n^{-1} \sum_{l=1}^n [Y_l \psi_i(T_l) p^{-1}(T_l) - a_i] \right\} + \left\{ n^{-1} \sum_{l=1}^n Y_l \psi_i(T_l) \frac{p(T_l) - \tilde{p}(T_l)}{p(T_l) \tilde{p}(T_l)} \right\} \\ &=: W_1 + W_2, \\ E W_1^4 &= E \left[ n^{-1} \sum_{l=1}^n (Y_l \psi_i(T_l) p^{-1}(T_l) - a_i) \right]^4 \leq C n^{-2}, \\ E W_2^4 &\leq C \gamma_n^{-4} E (p(T_l) - \tilde{p}(T_l))^4, \end{aligned}$$

當  $n$  夠大時,

$$|\tilde{p}(t) - p(t)| \leq \left| \sum_{i=0}^{N_p} \psi_i(t) \right| + \left| \sum_{i > N_p} p_i \psi_i(t) \right|,$$

根據 Buser and Nessel (1971 p351) 的結果,

$$E (p(T) - \tilde{p}(T))^4 \leq C N_p^{-1}, \quad E W_2^4 \leq C \gamma_n^{-4} N_p^{-1},$$

因此,

$$E \max_{i, j \leq N_h} (\tilde{a}_i - a_i)^4 \leq C \gamma_n^{-4} N_p^{-1}.$$

定理 3 之證明: 定理 2 告訴我們,

$$E (\hat{\theta}_r - \hat{\theta}_r^*)^2 \leq C n^{-1} [I(r \leq N_h) N_h + o(1)],$$

且對於所有的  $r$  和  $f(x) \in \mathcal{F}(\alpha, Q)$ , 可以找到一樣的  $C$ ,

$$\begin{aligned} \mathbb{E} \int_0^1 (\hat{f}(\{\hat{\theta}_j\}, x) - f(x))^2 dx &= \sum_j \mathbb{E}(\mu_j \hat{\theta}_j - \theta_j)^2 \\ &= \sum_j \mathbb{E}(\mu_j \hat{\theta}_j^* - \theta_j)^2 + \sum_j \mathbb{E}(\mu_j \hat{\theta}_j - \mu_j \hat{\theta}_j^*)^2 \\ &\quad + \sum_j 2\mathbb{E}(\mu_j \hat{\theta}_j^* - \theta_j)(\mu_j \hat{\theta}_j - \mu_j \hat{\theta}_j^*) \\ \mathbb{E} \int_0^1 (\hat{f}(\{\hat{\theta}_j^*\}, x) - f(x))^2 dx &= \sum_j \mathbb{E}(\mu_j \hat{\theta}_j^* - \theta_j)^2, \end{aligned}$$

因此,

$$\begin{aligned} &\frac{\mathbb{E} \int_0^1 (\hat{f}(\{\hat{\theta}_j\}, x) - f(x))^2 dx}{\mathbb{E} \int_0^1 (\hat{f}(\{\hat{\theta}_j^*\}, x) - f(x))^2 dx} \\ &= 1 + \frac{\sum_j \mathbb{E}(\mu_j \hat{\theta}_j - \mu_j \hat{\theta}_j^*)^2 + \sum_j 2\mathbb{E}(\mu_j \hat{\theta}_j^* - \theta_j)(\mu_j \hat{\theta}_j - \mu_j \hat{\theta}_j^*)}{\sum_j \mathbb{E}(\mu_j \hat{\theta}_j^* - \theta_j)^2} \\ &\leq 1 + \frac{\sum_j \mathbb{E}(\mu_j \hat{\theta}_j - \mu_j \hat{\theta}_j^*)^2}{\sum_j \mathbb{E}(\mu_j \hat{\theta}_j^* - \theta_j)^2} + 2\sqrt{\frac{\sum_j \mathbb{E}(\mu_j \hat{\theta}_j - \mu_j \hat{\theta}_j^*)^2}{\sum_j \mathbb{E}(\mu_j \hat{\theta}_j^* - \theta_j)^2}} \\ &= 1 + \frac{o(1)n^{-2\alpha/(2\alpha+1)}}{\sum_j \mathbb{E}(\mu_j \hat{\theta}_j^* - \theta_j)^2} + 2\sqrt{\frac{o(1)n^{-2\alpha/(2\alpha+1)}}{\sum_j \mathbb{E}(\mu_j \hat{\theta}_j^* - \theta_j)^2}} \\ &= 1 + o(1). \end{aligned}$$

## 參考文獻

- Butzer, P. L. and Nessel, R. J. (1971). *Fourier Analysis and Approximation*, Stuttgart: Burkhauser-Verlag.
- Efromovich, S. and Pinsker, M. (1996). Sharp-optimal and adaptive estimation for heteroscedastic nonparametric regression. *Statistica Sinica*, **6**, 925–945.
- Efromovich, S. (1999). *Nonparametric Curve Estimation: Methods, Theory and Applications*, New York: Springer-Verlag.
- Efromovich, S. (2005). Univariate nonparametric regression in the presence of auxiliary covariates. *Journal of the American Statistical Association*, **100**, 1185–1201.

[民國 99 年 3 月收稿, 民國 99 年 3 月接受.]



## ESTIMATING THE MAIN EFFECT OF A COVARIATE IN SINGLE-INDEX MODELS

Ming-Yen Cheng<sup>1</sup> and Yu-Teng Shen<sup>2</sup>

<sup>1</sup>Department of Statistical Science, University College London

<sup>2</sup>Department of Mathematics, National Taiwan University

### ABSTRACT

Efromovich (2005) addresses the problem of finding a relationship between the univariate predictor and the response when regression errors, created in part by known auxiliary covariates, are too large for a reliable regression estimation. The proposed solution of Efromovich (2005) is to estimate the noise component  $h(x, z) = E(Y|X = x, Z = z) - E(Y|X = x)$  and subtract it from the response and the obtained denoise scattergram yields the optimal estimation of the regression function. Besides, Efromovich (2005) develops a theory of asymptotically optimal nonparametric univariate regression estimation in the presence of auxiliary covariates. This article discusses the problem under single-index models. The problem is to estimate the main effect of a covariate in single-index models. We employ the techniques of Efromovich (2005) to estimate the main effect and prove the obtained denoise scattergram yields an asymptotic sharp minimax estimate.

Key words and phrases: Asymptotic sharp minimax estimate, auxiliary covariates, denoised scattergram, nonparametric regression, single index model.

JEL classifications: C13, C14.